

# Índice general

|  |           |
|--|-----------|
| <b>Resumen</b>   | <b>i</b>  |
| <b>1. Introducción general</b>   | <b>1</b>  |
| 1.1. Contexto de la problemática   | 1         |
| 1.2. Motivación  | 1         |
| 1.3. Estado del arte   | 2         |
| 1.4. Objetivos y alcance   | 4         |
| <b>2. Introducción específica</b>  | <b>7</b>  |
| 2.1. Definición de intruso   | 7         |
| 2.2. Modelo utilizado  | 8         |
| 2.3. Protocolos de video y transmisión   | 10        |
| 2.4. Software y hardware utilizados  | 11        |
| <b>3. Diseño e implementación</b>  | <b>13</b> |
| 3.1. Consideraciones generales   | 13        |
| 3.2. Arquitectura del módulo   | 14        |
| 3.3. Esquema detallado del módulo en el interior del sistema                                   | 16        |
| 3.4. Esquema detallado de las modificaciones hechas al modelo                                  | 17        |
| 3.5. Ajustes para cumplir con el rendimiento requerido   | 18        |
| 3.6. Entrega de resultados obtenidos al resto del software y retransmisión del video procesado | 19        |
| <b>4. Ensayos y resultados</b>   | <b>21</b> |
| 4.1. Descripción del proceso de pruebas  | 21        |
| 4.2. Pruebas en Raspberry Pi   | 22        |
| 4.3. Caso de Uso   | 23        |
| <b>5. Conclusiones</b>   | <b>25</b> |
| 5.1. Resultados Obtenidos  | 25        |
| 5.2. Tiempos de ejecución  | 25        |
| 5.3. Monitoreo de resultados   | 25        |
| <b>A. Tablas extendidas</b>  | <b>27</b> |
| <b>Bibliografía</b>  | <b>29</b> |

# Índice general

|  |           |
|--|-----------|
| <b>Resumen</b>   | <b>i</b>  |
| <b>1. Introducción general</b>   | <b>1</b>  |
| 1.1. Contexto de la problemática   | 1         |
| 1.2. Motivación  | 1         |
| 1.3. Estado del arte   | 2         |
| 1.4. Objetivos y alcance   | 4         |
| <b>2. Introducción específica</b>  | <b>7</b>  |
| 2.1. Definición de intruso   | 7         |
| 2.2. Modelo utilizado  | 8         |
| 2.3. Protocolos de video y transmisión   | 10        |
| 2.4. Software y hardware utilizados  | 11        |
| <b>3. Diseño e implementación</b>  | <b>13</b> |
| 3.1. Consideraciones generales   | 13        |
| 3.2. Arquitectura del módulo   | 14        |
| 3.3. Esquema detallado del módulo en el interior del sistema                                   | 16        |
| 3.4. Esquema detallado de las modificaciones hechas al modelo                                  | 17        |
| 3.5. Ajustes para cumplir con el rendimiento requerido   | 18        |
| 3.6. Entrega de resultados obtenidos al resto del software y retransmisión del video procesado | 19        |
| <b>4. Ensayos y resultados</b>   | <b>21</b> |
| 4.1. Descripción del proceso de pruebas  | 21        |
| 4.2. Pruebas en Raspberry Pi   | 22        |
| 4.3. Caso de Uso   | 23        |
| <b>5. Conclusiones</b>   | <b>25</b> |
| 5.1. Resultados Obtenidos  | 25        |
| 5.2. Tiempos de ejecución  | 25        |
| 5.3. Trabajos futuros  | 26        |
| <b>A. Tablas extendidas</b>  | <b>27</b> |
| <b>Bibliografía</b>  | <b>29</b> |

# Índice de figuras

|   |    |
|---|----|
| 1.1. Esquema de redes neuronales de YOLOv3. <sup>1</sup> . . . . .      | 4  |
| 3.1. Diagrama de bloques del módulo. . . . .                            | 15 |
| 3.2. Interfaz gráfica del módulo. . . . .                               | 16 |
| 3.3. Diagrama de bloques del módulo en el interior del sistema. . . . . | 17 |
| 3.4. Ejemplo de resultados generados por el módulo. . . . .             | 20 |

# Índice de figuras

|   |    |
|---|----|
| 1.1. Esquema de redes neuronales de YOLOv3. <sup>1</sup> . . . . .      | 4  |
| 3.1. Diagrama de bloques del módulo. . . . .                            | 15 |
| 3.2. Interfaz gráfica del módulo. . . . .                               | 16 |
| 3.3. Diagrama de bloques del módulo en el interior del sistema. . . . . | 17 |
| 3.4. Ejemplo de resultados generados por el módulo. . . . .             | 19 |

# Índice de tablas

- 1.1. Fecha de lanzamiento de distintos modelos YOLO. . . . . 3
- 2.1. Clases detectadas como intruso por el módulo. . . . . 8
- 2.2. Software requerido para el desarrollo y la ejecución del módulo. . . 11
- 3.1. Clases auxiliares para detección indirecta. . . . . 18
- A.1. Software requerido para el desarrollo y la ejecución del **módulo** . . 27

# Índice de tablas

- 1.1. Fecha de lanzamiento de distintos modelos YOLO. . . . . 3
- 2.1. Clases detectadas como intruso por el módulo. . . . . 8
- 2.2. Software requerido para el desarrollo y la ejecución del módulo. . . 11
- 3.1. Clases auxiliares para detección indirecta. . . . . 18
- A.1. Software requerido para el desarrollo y la ejecución del **módulo**. . . 27

## Capítulo 3

# Diseño e implementación

En este capítulo se detallan los aspectos técnicos del desarrollo del trabajo. Incluye las consideraciones tomadas en cuenta durante el desarrollo, el detalle de las modificaciones realizadas al modelo de partida, así como el detalle del papel que juega el módulo en el sistema. De igual manera, se hace una descripción cronológica del desarrollo del módulo.

### 3.1. Consideraciones generales

El módulo de inteligencia artificial propuesto es una implementación del modelo YOLOv3, especialmente modificada para cumplir con las necesidades específicas del cliente, así como una serie de requisitos funcionales. Es por esto que fue necesario hacer modificaciones a los archivos originales de la biblioteca.

Como se puede observar en el capítulo 1, no todos los requerimientos **funcionales** propuestos para el inicio del **trabajo**. Recordando que esta versión del trabajo representa un mínimo producto viable, a continuación se presenta una lista de todos los requerimientos funcionales que fueron cubiertos:

- **el** módulo se ejecuta en un computador de uso de hogar.
- **el** módulo es capaz de reconocer n clases como intruso.
- **se** reporta al usuario de manera visual.
- **se** reporta al usuario a través de un archivo de fácil análisis.
- **resulta** muy sencillo iniciar la ejecución del módulo a través de su interfaz gráfica.

De igual manera, el módulo está construido de manera que realizar modificaciones, o bien, expandir su funcionalidad en un futuro resulte muy sencillo. Es de vital importancia recalcar que esto se hizo teniendo en cuenta que se trata de un módulo que, a fin de salir de este estatus de mínimo producto viable, deberá sufrir un proceso de optimización muy fuerte. Algunos ejemplos de puntos en los que se **puede** aplicar estos trabajos son:

- **el** módulo está diseñado para filtrar las etiquetas que no hacen parte de las clases dadas en la definición de intruso. Esto implica que, a pesar de que no se reporte en ninguna de las dos metodologías, el módulo aún reconoce otras clases. En otras palabras, si se puede observar un modelo en el *frame*, este será satisfactoriamente detectado y son los métodos encargados del reporte los que no lo entregarán como un resultado positivo.

## Capítulo 3

# Diseño e implementación

En este capítulo se detallan los aspectos técnicos del desarrollo del trabajo. Incluye las consideraciones tomadas en cuenta durante el desarrollo, el detalle de las modificaciones realizadas al modelo de partida, así como el detalle del papel que juega el módulo en el sistema. De igual manera, se hace una descripción cronológica del desarrollo del módulo.

### 3.1. Consideraciones generales

El módulo de inteligencia artificial propuesto es una implementación del modelo YOLOv3, especialmente modificada para cumplir con las necesidades específicas del cliente, así como una serie de requisitos funcionales. Es por esto que fue necesario hacer modificaciones a los archivos originales de la biblioteca.

Como se puede observar en el capítulo 1, no todos los requerimientos **funcionales** propuestos para el inicio del **trabajo** **podieron ser cubiertos**. Recordando que esta versión del trabajo representa un mínimo producto viable, a continuación se presenta una lista de todos los requerimientos funcionales que fueron cubiertos:

- **El** módulo se ejecuta en un computador de uso de hogar.
- **El** módulo es capaz de reconocer n clases como intruso.
- **Se** reporta al usuario de manera visual.
- **Se** reporta al usuario a través de un archivo de fácil análisis.
- **Resulta** muy sencillo iniciar la ejecución del módulo a través de su interfaz gráfica.

De igual manera, el módulo está construido de manera que realizar modificaciones, o bien, expandir su funcionalidad en un futuro resulte muy sencillo. Es de vital importancia recalcar que esto se hizo teniendo en cuenta que se trata de un módulo que, a fin de salir de este estatus de mínimo producto viable, deberá sufrir un proceso de optimización muy fuerte. Algunos ejemplos de puntos en los que se **pueden** aplicar estos trabajos son:

- **El** módulo está diseñado para filtrar las etiquetas que no hacen parte de las clases dadas en la definición de intruso. Esto implica que, a pesar de que no se reporte en ninguna de las dos metodologías, el módulo aún reconoce otras clases. En otras palabras, si se puede observar un modelo en el *frame*, este será satisfactoriamente detectado y son los métodos encargados del reporte los que no lo entregarán como un resultado positivo.

- **la** precisión del modelo debe ser mejorada: dado que ocasionalmente se hacen detecciones de objetos que no corresponden con lo visto en el *frame*. Se detectó que, en particular, el módulo es especialmente susceptible a generar falsos positivos.
- **los** cuadros se devuelven en espacio de color bgr. Esto, en combinación con que el color de los rectángulos no se puede cambiar desde la interfaz grafica.
- **el** color de los rectángulos es igual para todas las clases de objeto.
- **se** debe mejorar significativamente el manejo que da el módulo de las excepciones que se generen, tanto a nivel de manejo de problemas originados en el código mismo, como recuperación cuando se generen cortes en **la recepción** del *streaming* de video.
- **a** pesar de que la **interferir** grafica se realizó pensando en la facilidad de uso para el usuario, su comportamiento podría resultar extraño dado que el diseño de experiencia de usuario (UX) quedó fuera del alcance de los trabajos durante su etapa de concepción.

Finalmente, resulta de especial interés tener en mente también las limitaciones del modelo:

- **los** modelos YOLO se ven limitados cuando se les pide detectar objetos que se encuentran muy cerca de una fuente de luz muy brillante, especialmente el sol, se **puede** generar dificultades para detectar los objetos. Esto es parcialmente **contrarrestando** añadiendo las clases adicionales detalladas en la tabla **n**.
- **los** objetos deben encontrarse a una distancia prudencial del dron. A pesar de que **mas** pruebas de vuelo no se han enfocado en el cálculo de este valor, sí se hace evidente que al estar el dron demasiado lejos de ellas, no se hace una detección oportuna.
- **el** modelo no cuenta con funciones de *auto-healing*, que **deben** ser tenidas en cuenta a fin de lograr mantener la integridad del modelo si sus pesos son actualizados constantemente por el cliente a fin de mejorar la predicción.

### 3.2. Arquitectura del módulo

Se propone como mínimo producto viable de este módulo, un código altamente modular. Esto significa que la manera en la que está desarrollado (a excepción del método principal, en el archivo Utils), está planteada en pequeños métodos que podrán ser modificados y mantenidos con facilidad. Esto supone, sin embargo, que sea de vital importancia entender la arquitectura del módulo a fin de **poder** realizar las modificaciones pertinentes en el punto adecuado del código. Así **co-**mo se hizo en el literal anterior con el flujo de información entre el Sistema y el **Módulo**, a continuación, se describe el flujo de la información en el interior del módulo.

El módulo está compuesto por cuatro capas funcionales:

1. **funciones** originales de YOLO: encargadas de la funcionalidad base de detección de los objetos en la totalidad de las clases que componen el *dataset*

- **La** precisión del modelo debe ser mejorada: dado que ocasionalmente se hacen detecciones de objetos que no corresponden con lo visto en el *frame*. Se detectó que, en particular, el módulo es especialmente susceptible a generar falsos positivos.
- **Los** cuadros se devuelven en espacio de color bgr. Esto, en combinación con que el color de los rectángulos no se puede cambiar desde la interfaz grafica.
- **El** color de los rectángulos es igual para todas las clases de objeto.
- **Se** debe mejorar significativamente el manejo que da el módulo de las excepciones que se generen, tanto a nivel de manejo de problemas originados en el código mismo, como recuperación cuando se generen cortes en **la recepción** del *streaming* de video.
- **A** pesar de que la **interfaz** grafica se realizó pensando en la facilidad de uso para el usuario, su comportamiento podría resultar extraño dado que el diseño de experiencia de usuario (UX) quedó fuera del alcance de los trabajos durante su etapa de concepción.

Finalmente, resulta de especial interés tener en mente también las limitaciones del modelo:

- **Los** modelos YOLO se ven limitados cuando se les pide detectar objetos que se encuentran muy cerca de una fuente de luz muy brillante, especialmente el sol, se **pueden** generar dificultades para detectar los objetos. Esto es parcialmente **contrarrestado** añadiendo las clases adicionales detalladas en la tabla **3.1**.
- **Los** objetos deben encontrarse a una distancia prudencial del dron. A pesar de que **las** pruebas de vuelo no se han enfocado en el cálculo de este valor, sí se hace evidente que al estar el dron demasiado lejos de ellas, no se hace una detección oportuna.
- **El** modelo no cuenta con funciones de *auto-healing*, que **deberían** ser tenidas en cuenta a fin de lograr mantener la integridad del modelo si sus pesos son actualizados constantemente por el cliente a fin de mejorar la predicción.

### 3.2. Arquitectura del módulo

Se propone como mínimo producto viable de este módulo, un código altamente modular. Esto significa que la manera en la que está desarrollado (a excepción del método principal, en el archivo Utils), está planteada en pequeños métodos que podrán ser modificados y mantenidos con facilidad. Esto supone, sin embargo, que sea de vital importancia entender la arquitectura del módulo a fin de **po-**der realizar las modificaciones pertinentes en el punto adecuado del código. Así como se hizo en el numeral anterior (**consideraciones generales**) con el flujo de información entre el **sistema** y el **módulo**, a continuación, se describe el flujo de la información en el interior del módulo.

El módulo está compuesto por cuatro capas funcionales:

1. **Funciones** originales de YOLO: encargadas de la funcionalidad base de detección de los objetos en la totalidad de las clases que componen el *dataset*

- COCO. Incluye funciones como nms (encargada del *non-max supression*) y la función IoU.
- 2. **funciones** híbridas: normalmente funciones **qué** coordinan el llamado de las demás funciones. A pesar de que ofrecen una funcionalidad muy **similar** a las originales de YOLO, funcionan en un orden diferente, de forma que se puedan obtener los datos requeridos en el momento preciso para las **necesidades** del cliente.
  - 3. **funciones** propias: **Que** permiten agregar al módulo la funcionalidad requerida por el cliente. Ejemplos de estas funciones incluyen la generación de archivos en formato CSV y la carga de etiquetas válidas.
  - 4. **interfaz** gráfica: **Que** permite al usuario interactuar con el módulo para iniciar su ejecución fácilmente.

El diagrama de **bloques** correspondiente a estas cuatro capas es el siguiente:

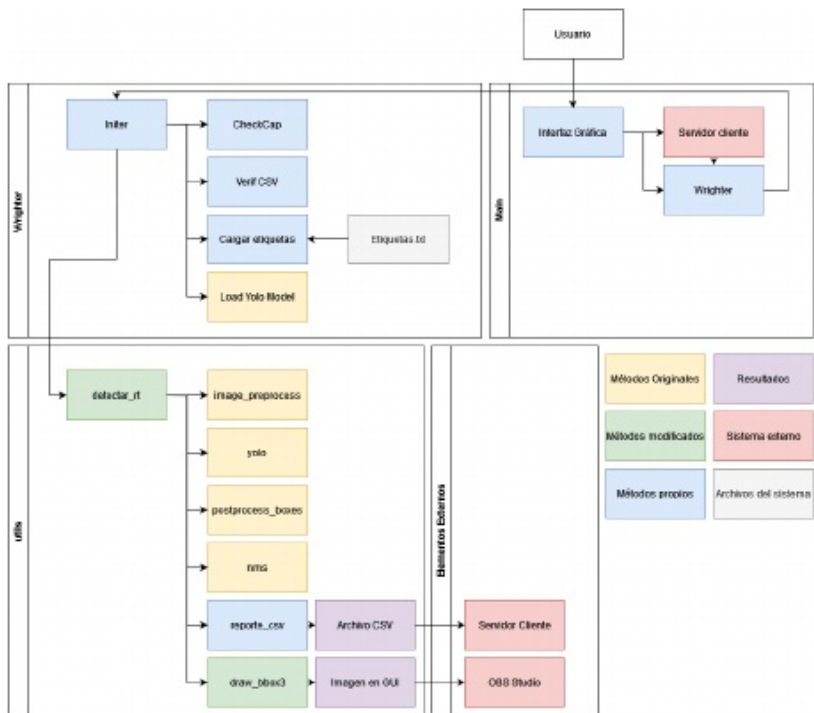


FIGURA 3.1. Diagrama de bloques del módulo.

- COCO. Incluye funciones como nms (encargada del *non-max supression*) y la función IoU.
- 2. **Funciones** híbridas: normalmente funciones **que** coordinan el llamado de las demás funciones. A pesar de que ofrecen una funcionalidad muy **simi-lar** a las originales de YOLO, funcionan en un orden diferente, de forma que se puedan obtener los datos requeridos en el momento preciso para las **necesidades** del cliente.
  - 3. **Funciones** propias: **que** permiten agregar al módulo la funcionalidad requerida por el cliente. Ejemplos de estas funciones incluyen la generación de archivos en formato CSV y la carga de etiquetas válidas.
  - 4. **Interfaz** gráfica: **que** permite al usuario interactuar con el módulo para iniciar su ejecución fácilmente.

El diagrama de **bloques** correspondiente a estas cuatro capas es el siguiente:

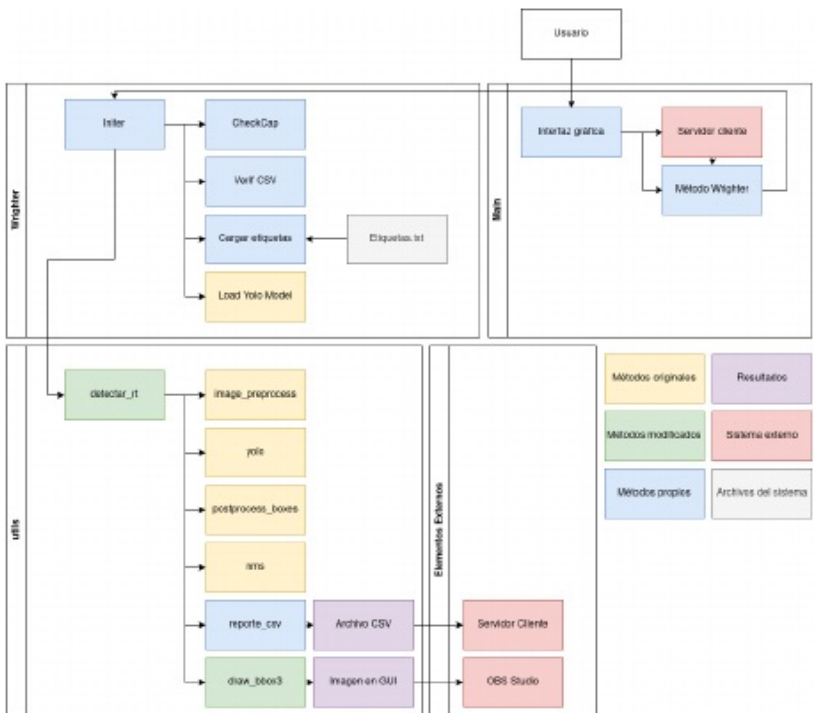


FIGURA 3.1. Diagrama de bloques del módulo.



### 3.3. Esquema detallado del módulo en el interior del sistema

Este módulo es una parte de un trabajo más grande desarrollado directamente por el cliente. Es decir, deberá estar en capacidad de comunicarse con otras partes del sistema, de forma que estos otros módulos puedan tomar decisiones y recibir órdenes de controladores humanos. A pesar de que se desconoce el funcionamiento de la totalidad del sistema.

Para lograr esto, durante la fase de concepción del trabajo se estipuló que el módulo deberá ser capaz de conectarse a los servidores del cliente, en los que se aloja la transmisión de vídeo. Esta conexión entre ambos equipos se logra cuando el usuario indica al módulo, a través de la interfaz gráfica (visible en la imagen). Una vez se presiona el botón “Iniciar ejecución”. Esta interfaz está pensada para ser tan sencilla como sea posible, permitiendo que el usuario inicie la ejecución del módulo de la manera más sencilla posible.



FIGURA 3.2. Interfaz gráfica del módulo.

Por otro lado, el módulo deberá reportar al resto del sistema si se detectó a **algún** intruso. Para esto, se definieron dos metodologías, que **serán tocadas más en detalle** más adelante en este capítulo:

1. **reporte** visual
2. **reporte** en formato CSV

Dada esta descripción, desde afuera, el módulo tendrá el siguiente aspecto:

Cabe mencionar que, dada la naturaleza confidencial de este módulo, así como de la totalidad del sistema, se buscó que el módulo requiriera la menor cantidad de información para funcionar como fuese posible. Esto también permite que los parámetros dados del vídeo y la cantidad de transmisiones que se procesan a la vez se encuentren bajo total control del cliente.

De igual manera es de vital importancia tener en cuenta que la totalidad del módulo se desarrolló **en total desconocimiento del** funcionamiento del resto del **sistema**. Es por esto que para iniciar su ejecución se debe ejecutar el código de manera manual. El **sistema** no puede detectar cuándo se ha iniciado una transmisión, y por lo tanto, se requiere una persona encargada de dar inicio cuando sea **necesario**.

Finalmente, este módulo está diseñado como un mínimo producto viable que permita a las personas tomar decisiones informadas, con soporte en vídeo. Esta versión **no es de ninguna manera** un sistema autónomo, sino que constituye un sistema de apoyo a la decisión.

### 3.3. Esquema detallado del módulo en el interior del sistema

Este módulo es una parte de un trabajo más grande desarrollado directamente por el cliente. Es decir, deberá estar en capacidad de comunicarse con otras partes del sistema, de forma que estos otros módulos puedan tomar decisiones y recibir órdenes de controladores humanos. A pesar de que se desconoce el funcionamiento de la totalidad del sistema.

Para lograr esto, durante la fase de concepción del trabajo se estipuló que el módulo deberá ser capaz de conectarse a los servidores del cliente, en los que se aloja la transmisión de vídeo. Esta conexión entre ambos equipos se logra cuando el usuario indica al módulo, a través de la interfaz gráfica (visible en la imagen). Una vez se presiona el botón “Iniciar ejecución”. Esta interfaz está pensada para ser tan sencilla como sea posible, permitiendo que el usuario inicie la ejecución del módulo de la manera más sencilla posible.

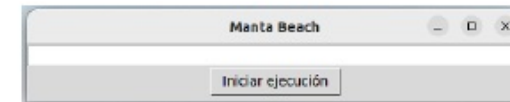


FIGURA 3.2. Interfaz gráfica del módulo.

Por otro lado, el módulo deberá reportar al resto del sistema si se detectó a **algún** intruso. Para esto, se definieron dos metodologías, que **se detallarán** más adelante en este capítulo:

1. **Reporte** visual
2. **Reporte** en formato CSV

Dada esta descripción, desde afuera, el módulo tendrá el siguiente aspecto:

Cabe mencionar que, dada la naturaleza confidencial de este módulo, así como de la totalidad del sistema, se buscó que el módulo requiriera la menor cantidad de información para funcionar como fuese posible. Esto también permite que los parámetros dados del vídeo y la cantidad de transmisiones que se procesan a la vez se encuentren bajo total control del cliente.

De igual manera es de vital importancia tener en cuenta que la totalidad del módulo se desarrolló **sin conocer** el funcionamiento del resto del **sistema**. Es por esto que para iniciar su ejecución se debe ejecutar el código de manera manual. El **sistema** no puede detectar cuándo se ha iniciado una transmisión, y por lo tanto, se requiere **de** una persona encargada de dar inicio cuando sea **necesario**.

Finalmente, este módulo está diseñado como un mínimo producto viable que permita a las personas tomar decisiones informadas, con soporte en vídeo. Esta versión **no se considera** un sistema autónomo, sino que constituye un sistema de apoyo a la decisión.

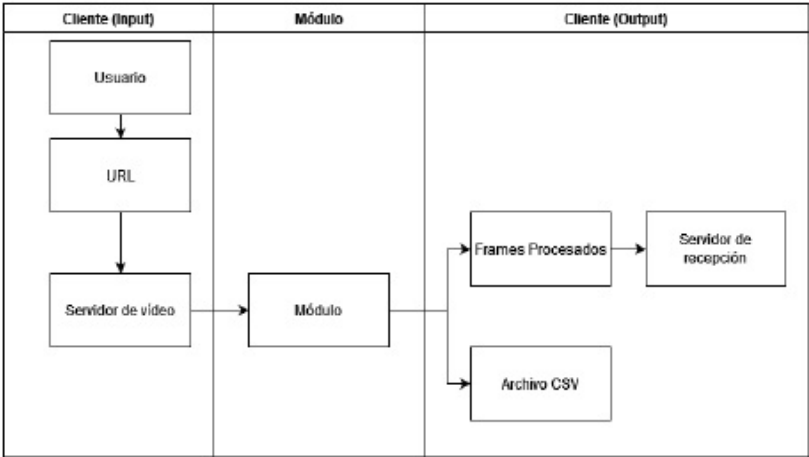


FIGURA 3.3. Diagrama de bloques del módulo en el interior del sistema.

3.4. Esquema detallado de las modificaciones hechas al modelo

Dado que se trata de una implementación personalizada, existen varias diferencias entre el módulo desarrollado y la implementación original del modelo YOLOv3. Dicho esto, las modificaciones realizadas generales al modelo, en orden cronológico son las siguientes:

- **se** preparó el código para que se ejecute desde un *streaming* de video, en vez de un archivo local en el equipo. Esto implica que se debe detener la ejecución antes de pasar imágenes al método de detección si no es posible establecer conexión con el servidor.
- **se** filtraron las etiquetas a fin de lograr que **sólo** sean detectadas las clases definidas en la definición de intruso.
- **se** crearon los métodos encargados de generar una respuesta que se pasará al resto del módulo. Particularmente, se le permitió al programa generar dos tipos de respuesta.
- **se** estableció un método que permite descartar un número determinado de *frames*, de forma que se permita aliviar la carga computacional sobre el equipo.
- **durante** el desarrollo del módulo se estableció que el hacer que el módulo sea capaz de procesar varios *streamings* de video de manera paralela está fuera del alcance de las temáticas cubiertas en el postgrado, a fin de cubrir satisfactoriamente este requisito, se informó al cliente que sería posible este análisis en caso de que se reciba el *streaming* con varias cámaras combinadas

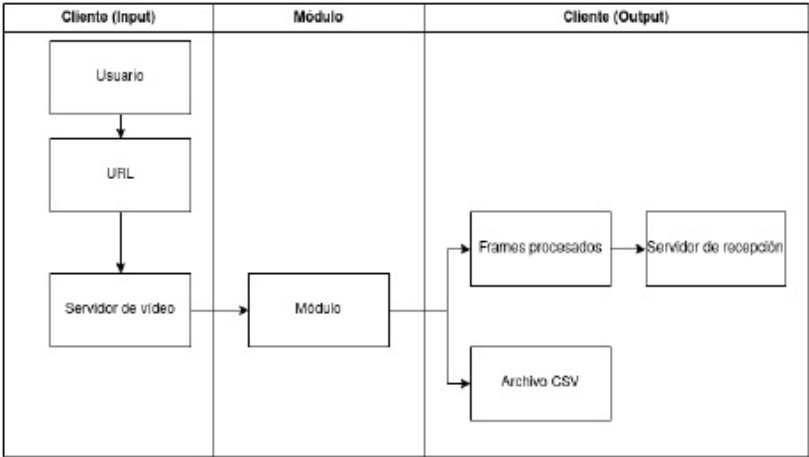


FIGURA 3.3. Diagrama de bloques del módulo en el interior del sistema.

3.4. Esquema detallado de las modificaciones hechas al modelo

Dado que se trata de una implementación personalizada, existen varias diferencias entre el módulo desarrollado y la implementación original del modelo YOLOv3. Dicho esto, las modificaciones realizadas generales al modelo, en orden cronológico son las siguientes:

- **Se** preparó el código para que se ejecute desde un *streaming* de video, en vez de un archivo local en el equipo. Esto implica que se debe detener la ejecución antes de pasar imágenes al método de detección si no es posible establecer conexión con el servidor.
- **Se** filtraron las etiquetas a fin de lograr que **solo** sean detectadas las clases definidas en la definición de intruso.
- **Se** crearon los métodos encargados de generar una respuesta que se pasará al resto del módulo. Particularmente, se le permitió al programa generar dos tipos de respuesta.
- **Se** estableció un método que permite descartar un número determinado de *frames*, de forma que se permita aliviar la carga computacional sobre el equipo.
- **Durante** el desarrollo del módulo se estableció que el hacer que el módulo sea capaz de procesar varios *streamings* de video de manera paralela está fuera del alcance de las temáticas cubiertas en el postgrado, a fin de cubrir satisfactoriamente este requisito, se informó al cliente que sería posible este análisis en caso de que se reciba el *streaming* con varias cámaras combinadas



en un único cuadro. Esto, por ser una decisión relacionada con la forma en la que el cliente maneja su *streaming*, no afectó el desarrollo del trabajo.

Cabe resaltar que cada una de estas modificaciones implicó una serie de tareas más pequeñas, a las que Manta Beach, como cliente, hizo un seguimiento cercano.

3.5. Ajustes para cumplir con el rendimiento requerido

Dadas las limitantes del equipo en el que se realizó el desarrollo del módulo (especialmente teniendo en cuenta que este desarrollo se hizo utilizando máquinas virtuales), fue necesario llevar a cabo un análisis detallado que, en teniendo en mente las necesidades del cliente, permitiera reducir la carga computacional sobre la máquina. De esta manera se intentó una serie de ajustes al modelo de forma que se lograra mantener los requisitos dados en el proceso de establecimiento de los trabajos:

- **eliminación** de un número determinado de *frames*. Si bien, este es un número fácil de establecer, y que el sistema recibirá como parámetro, se recomienda utilizar un valor de  $N=10$ , de forma que, para un fps de 30, se analicen 3 cuadros por segundo. Cabe resaltar que 30 será el número máximo para cumplir con el requisito de hacer un análisis en un tiempo no mayor a 1 segundo, mientras que con  $N=120$ , se cumplirá el requisito de hacer un análisis en un tiempo no mayor a 4 segundos.
- **reducción** de la calidad del *streaming* de video a 200. A pesar de que esta reducción afecta muy notoriamente la calidad del video, el módulo es capaz de detectar objetos. Se pierden, sin embargo, las propiedades probatorias del trabajo. En la imagen se puede ver un ejemplo del video con calidad reducida. Como se mencionó en secciones anteriores este es un parámetro que el módulo ya recibe en el *streaming* de video, y cuyo control recae únicamente en el cliente.

Finalmente, la solución escogida fue descartar uno de cada  $N$  *frames*, de forma que no se procese la totalidad de ellos, y se requiera una mejor cantidad de operaciones. Cabe mencionar que, en este tipo de modelos, es común que conforme se aumente el rendimiento, también se reducirá la precisión del modelo. Es por esto que, para contrarrestar estos efectos, se decidió incluir algunas clases que permitieran hacer una detección indirecta. Estas clases corresponden a objetos que las personas cargan con frecuencia. Estas clases adicionales son:

TABLA 3.1. Clases auxiliares para detección indirecta.

| Clases auxiliares |           |
|-------------------|-----------|
| Camión            | Bicicleta |
| Automóvil         | Bus       |
| Motocicleta       | Sombrilla |
| Mochila           | Maletín   |

Dada la naturaleza del trabajo, cabe **aclarar que**, en este punto, el módulo no podrá **identificar** discernir que al detectar simultáneamente la clase mochila y la clase persona en un espacio muy cercano, podrá tratarse de una única detección. Estas serán registradas y reportadas por el módulo como dos detecciones **separadas**.

en un único cuadro. Esto, por ser una decisión relacionada con la forma en la que el cliente maneja su *streaming*, no afectó el desarrollo del trabajo.

Cabe resaltar que cada una de estas modificaciones implicó una serie de tareas más pequeñas, a las que Manta Beach, como cliente, hizo un seguimiento cercano.

3.5. Ajustes para cumplir con el rendimiento requerido

Dadas las limitantes del equipo en el que se realizó el desarrollo del módulo (especialmente teniendo en cuenta que este desarrollo se hizo utilizando máquinas virtuales), fue necesario llevar a cabo un análisis detallado que, en teniendo en mente las necesidades del cliente, permitiera reducir la carga computacional sobre la máquina. De esta manera se intentó una serie de ajustes al modelo de forma que se lograra mantener los requisitos dados en el proceso de establecimiento de los trabajos:

- **Eliminación** de un número determinado de *frames*. Si bien, este es un número fácil de establecer, y que el sistema recibirá como parámetro, se recomienda utilizar un valor de  $N=10$ , de forma que, para un fps de 30, se analicen 3 cuadros por segundo. Cabe resaltar que 30 será el número máximo para cumplir con el requisito de hacer un análisis en un tiempo no mayor a 1 segundo, mientras que con  $N=120$ , se cumplirá el requisito de hacer un análisis en un tiempo no mayor a 4 segundos.
- **Reducción** de la calidad del *streaming* de video a 200. A pesar de que esta reducción afecta muy notoriamente la calidad del video, el módulo es capaz de detectar objetos. Se pierden, sin embargo, las propiedades probatorias del trabajo. En la imagen se puede ver un ejemplo del video con calidad reducida. Como se mencionó en secciones anteriores este es un parámetro que el módulo ya recibe en el *streaming* de video, y cuyo control recae únicamente en el cliente.

Finalmente, la solución escogida fue descartar uno de cada  $N$  *frames*, de forma que no se procese la totalidad de ellos, y se requiera una mejor cantidad de operaciones. Cabe mencionar que, en este tipo de modelos, es común que conforme se aumente el rendimiento, también se reducirá la precisión del modelo. Es por esto que, para contrarrestar estos efectos, se decidió incluir algunas clases que permitieran hacer una detección indirecta. Estas clases corresponden a objetos que las personas cargan con frecuencia. Estas clases adicionales son:

TABLA 3.1. Clases auxiliares para detección indirecta.

| Clases auxiliares |           |
|-------------------|-----------|
| Camión            | Bicicleta |
| Automóvil         | Bus       |
| Motocicleta       | Sombrilla |
| Mochila           | Maletín   |

Por la naturaleza del trabajo, cabe **aclarar**, en este punto, **que** el módulo no podrá discernir que al detectar simultáneamente la clase mochila y la clase persona en un espacio muy cercano, podrá tratarse de una única detección. Estas serán registradas y reportadas por el módulo como dos detecciones **separadas**.

### 3.6. Entrega de resultados obtenidos al resto del software y retransmisión del vídeo procesado 19

Esto, sin embargo, es preferible a eliminar detecciones, teniendo en mente que se prefiere que el módulo pueda detectar a tantas personas como sea posible, dada la sensibilidad de las consecuencias en caso de una falla del modelo.

### 3.6. Entrega de resultados obtenidos al resto del software y retransmisión del vídeo procesado

Una vez se ha analizado el *frame*, el módulo deberá **estar en capacidad de devolver** resultados al resto del sistema, de forma que tanto las personas encargadas, como el sistema mismo **estén en capacidad** de tomar decisiones rápidas, e **informadas** de cómo proceder. Dados estos dos actores a los que se les debe hacer llegar la información, en conjunto con el cliente se **decidió** utilizar dos métodos diferentes a través de los que el módulo dará su respuesta para cada uno de los *frames*:

- **entrega visual:** *Imagen* procesada con sus cajas identificando los objetos detectados. Estos *frames* ya procesados son retransmitidos al servidor original para su visualización en la plataforma designada por el cliente. Es importante tener en cuenta que, en esta versión del módulo, esta retransmisión no se hace directamente a través del módulo propuesto, sino que se requerirá el uso de software externo, **que en esta ocasión es** OBS Studio.
- **entrega para análisis de datos:** *Archivo* en formato CSV con la información de los objetos detectados. De igual manera, el sistema **estará en capacidad de reportar** el número del dron desde el que se hizo la detección, a pesar de que es una característica que no se ha probado, teniendo en cuenta que aún no se **ha** hecho vuelos con varios drones de manera simultánea. A diferencia de la imagen preprocesada, este archivo no es retransmitido. Se guarda por defecto en la carpeta de documentos de la *maquina* en la que se está ejecutando. **Dado** que esta versión corresponde a un mínimo producto viable, este archivo no se retransmite. Se guarda, en cambio, en la carpeta de documentos *dr* la máquina en la que se ejecuta el módulo.

Es de vital importancia tener en **cuenta**, sin embargo, que como se mencionó en el capítulo 1, no se espera que haya una persona encargada constantemente de la **revisión** de las cámaras, y en consecuencia, es posible deshabilitar la retransmisión del *cuadro preprocesado*. Por otro lado, y buscando que el sistema sea tan **autónomo** como resulte posible, no se podrá **apagar** el reporte a través de archivos *JSON*.

Por otro lado, los archivos *JSON* deberán contener los siguientes datos:

- **fecha y hora de detección.**
- **coordenadas de detección dentro del *frame*.**
- **número de dron en el que ocurre la detección.**

Los datos serán entregados en el orden en el que han sido mencionados. Esto es de vital importancia de forma que el resto del sistema sea capaz de interpretar correctamente los datos entregados. Por otro lado, se debe recordar que el sistema desconoce la ubicación del dron en su recorrido de vuelo. Es por esto que el módulo no podrá reportar la ubicación en la que detectó el objeto. Esta deberá ser

### 3.6. Entrega de resultados obtenidos al resto del software y retransmisión del vídeo procesado 19

Esto, sin embargo, es preferible a eliminar detecciones, teniendo en mente que se prefiere que el módulo pueda detectar a tantas personas como sea posible, dada la sensibilidad de las consecuencias en caso de una falla del modelo.

### 3.6. Entrega de resultados obtenidos al resto del software y retransmisión del vídeo procesado

Una vez **que** se ha analizado el *frame*, el módulo deberá **ser capaz de devolver** resultados al resto del sistema, de forma que tanto las personas encargadas, como el sistema mismo **sean capaces** de tomar decisiones rápidas, e **informar** cómo proceder. Dados estos dos actores a los que se les debe hacer llegar la información, en conjunto con el cliente se **decidieron** utilizar dos métodos diferentes a través de los que el módulo dará su respuesta para cada uno de los *frames*:

- **Entrega visual:** *imagen* procesada con sus cajas identificando los objetos detectados. Estos *frames* ya procesados son retransmitidos al servidor original para su visualización en la plataforma designada por el cliente. Es importante tener en cuenta que, en esta versión del módulo, esta retransmisión no se hace directamente a través del módulo propuesto, sino que se requerirá el uso de software externo, **como el** OBS Studio.
- **Entrega para análisis de datos:** *archivo* en formato CSV con la información de los objetos detectados. De igual manera, el sistema **será capaz de reportar** el número del dron desde el que se hizo la detección, a pesar de que es una característica que no se ha probado, teniendo en cuenta que aún no se **han** hecho vuelos con varios drones de manera simultánea. A diferencia de la imagen preprocesada, este archivo no es retransmitido. Se guarda por defecto en la carpeta de documentos de la *máquina* en la que se está ejecutando. **Visto** que esta versión corresponde a un mínimo producto viable, este archivo no se retransmite. Se guarda, en cambio, en la carpeta de documentos *de* la máquina en la que se ejecuta el módulo.

Es **muy importante** tener en **mente** que se espera que **no** haya personas **supervisando** constantemente las cámaras. **Por este motivo**, es posible deshabilitar la retransmisión del *frame* procesado. Por otro lado, y buscando que el sistema sea tan **autónomo** como resulte posible, no se podrá **desactivar** el reporte a través de archivos *CSV*.

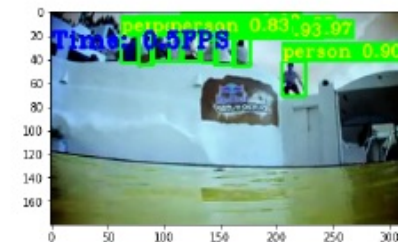


FIGURA 3.4. Ejemplo de resultados generados por el módulo.

Por otro lado, los archivos *CSV* deberán contener los siguientes datos:

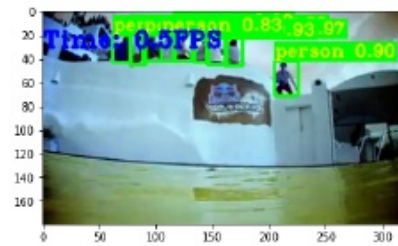


FIGURA 3.4. Ejemplo de resultados generados por el módulo.

calculada por el sistema a partir de los datos de posición, altura y posición en el *frame* (información proporcionada por el módulo).

- Fecha y hora de detección.
- Coordenadas de detección dentro del *frame*.
- Número de dron en el que ocurre la detección.

Los datos serán entregados en el orden en el que han sido mencionados. Esto es de vital importancia de forma que el resto del sistema sea capaz de interpretar correctamente los datos entregados. Por otro lado, se debe recordar que el sistema desconoce la ubicación del dron en su recorrido de vuelo. Es por esto que el módulo no podrá reportar la ubicación en la que detectó el objeto. Esta deberá ser calculada por el sistema a partir de los datos de posición, altura y posición en el *frame* (información proporcionada por el módulo).



## Capítulo 4

### Ensayos y resultados

Este capítulo detalla las distintas pruebas que se hicieron sobre el módulo, así como el proceso de descarte de módulos a bordo de los drones. De igual manera, detalla los resultados obtenidos durante estos ensayos y los criterios utilizados para dar por cerrados los distintos requerimientos presentados en el capítulo 1. Finalmente, se explican los resultados mostrados durante una ejecución exitosa del módulo.

#### 4.1. Descripción del proceso de pruebas

A pesar de que esto se estipuló en la concepción inicial del trabajo, conforme se dio su avance no se hizo posible llevar a cabo un proceso formal de pruebas al módulo. Sin embargo, el cliente estuvo involucrado directamente en el proceso de verificación de la funcionalidad del módulo a través de reuniones quincenales.

En estas reuniones fue posible hacer un seguimiento muy cercano y dar aprobación a las siguientes características para el funcionamiento del módulo. Durante estas reuniones se hizo posible dar por aprobado el código presentado para el trabajo, teniendo en cuenta que se cumplió con los siguientes criterios:

- **el** módulo obtiene correctamente los *frames* enviados por el cliente en el servidor que este dispone para tal fin.
- **el** módulo detecta intrusos en un tiempo no mayor a 4 segundos, aún cuando se ejecute en sistemas considerablemente menores a los que se espera lo ejecuten. En particular, utilizando CPU en vez de GPU durante la detección.
- **la** precisión del modelo es razonable.
- **fue** posible hacer la detección en tiempo real. Es decir, no solo se ejecutó con vídeos de prueba grabados por el cliente, sino que el módulo también se ejecutó correctamente durante vuelos transmitidos en tiempo real.
- **el** módulo es capaz de detectar intrusos en varios *streamings* de video. Se deja la anotación que para que esto se logre, se deberá preprocesar el video de forma que todos los *streamings* vengán combinados en un único *frame*. El módulo no tiene la capacidad de ejecutar varias instancias de manera paralela.
- **se** realizó una serie de pruebas durante estas reuniones, en las que se evidenció el funcionamiento del módulo.

## Capítulo 4

### Ensayos y resultados

Este capítulo detalla las distintas pruebas que se hicieron sobre el módulo, así como el proceso de descarte de módulos a bordo de los drones. De igual manera, detalla los resultados obtenidos durante estos ensayos y los criterios utilizados para dar por cerrados los distintos requerimientos presentados en el capítulo 1. Finalmente, se explican los resultados mostrados durante una ejecución exitosa del módulo.

#### 4.1. Descripción del proceso de pruebas

A pesar de que esto se estipuló en la concepción inicial del trabajo, conforme se dio su avance no se hizo posible llevar a cabo un proceso formal de pruebas al módulo. Sin embargo, el cliente estuvo involucrado directamente en el proceso de verificación de la funcionalidad del módulo a través de reuniones quincenales.

En estas reuniones fue posible hacer un seguimiento muy cercano y dar aprobación a las siguientes características para el funcionamiento del módulo. Durante estas reuniones se hizo posible dar por aprobado el código presentado para el trabajo, teniendo en cuenta que se cumplió con los siguientes criterios:

- **El** módulo obtiene correctamente los *frames* enviados por el cliente en el servidor que este dispone para tal fin.
- **El** módulo detecta intrusos en un tiempo no mayor a 4 segundos, aún cuando se ejecute en sistemas considerablemente menores a los que se espera lo ejecuten. En particular, utilizando CPU en vez de GPU durante la detección.
- **La** precisión del modelo es razonable.
- **Fue** posible hacer la detección en tiempo real. Es decir, no solo se ejecutó con vídeos de prueba grabados por el cliente, sino que el módulo también se ejecutó correctamente durante vuelos transmitidos en tiempo real.
- **El** módulo es capaz de detectar intrusos en varios *streamings* de video. Se deja la anotación que para que esto se logre, se deberá preprocesar el video de forma que todos los *streamings* vengán combinados en un único *frame*. El módulo no tiene la capacidad de ejecutar varias instancias de manera paralela.
- **Se** realizó una serie de pruebas durante estas reuniones, en las que se evidenció el funcionamiento del módulo.

Para este visto bueno, no fueron considerados los siguientes requisitos, a pesar de que se trata de tareas que fueron ejecutadas:

- **documentación** del módulo.
- **facilidad** de uso del módulo.
- **sistema** operativo en el que se ejecutará el módulo. A pesar de que, durante la etapa de **planeación**, no se especificó el sistema operativo en el que se ejecutará el modelo, este fue diseñado para ejecutarse en Ubuntu 22.04.

## 4.2. Pruebas en Raspberry Pi

Desde la concepción inicial del trabajo, se estableció que se tendrían dos caminos para poder desarrollarlo: **Por** un lado, se planteó que el módulo debía ser capaz de reconocer intrusos en varios *streamings* de vídeo simultáneos (camino que finalmente se vio favorecido), o bien, hacer que el módulo fuese capaz de correr en equipos a bordo de los drones. Para esto, se llevaron a cabo una serie de pruebas y ensayos en equipos Raspberry Pi. Más concretamente, las especificaciones de los equipos sobre los que se hicieron las pruebas son:

- **modelo**: Raspberry Pi 2 modelo B
- **sistema Operativo**: Raspberry Pi OS (Debian 11 – Bullseye)
- CPU quad-core ARM Cortex-A7 900MHz
- **memoria** ram: 1 Gb.
- **overclocking**: Desactivado

Específicamente, el modelo con el que se tuvo los problemas más **importantes**, **especialmente** a la hora de la instalación fue la versión completa de Tensorflow, requerida para la ejecución del módulo. Cabe mencionar que las placas Raspberry Pi son **compatibles** con la versión Lite de Tensorflow. Dicho esto, se intentaron cinco métodos para la instalación de esta biblioteca. Ninguno de ellos fue exitoso. El proceso llevado a cabo en cada una de las cinco instalaciones fue el siguiente:

- **instalación 1** [14]:
  - instalación de Tensorflow: utilizando PIP.
  - se clona el repositorio de GIT de Tensorflow.
- **instalación 2** [15]:
  - instalación de Tensorflow: utilizando PIP y el comando `--no-cache-dir`.
- **instalación 3** [16]:
  - instalación de Tensorflow Lite: utilizando PIP.
- **instalación 4** [17]:
  - instalación de Libatlas: utilizando PIP.
  - instalación de Tensorflow: utilizando PIP.
- **instalación 5** [18]:

Para este visto bueno, no fueron considerados los siguientes requisitos, a pesar de que se trata de tareas que fueron ejecutadas:

- **Documentación** del módulo.
- **Facilidad** de uso del módulo.
- **Sistema** operativo en el que se ejecutará el módulo. A pesar de que, durante la etapa de **planificación**, no se especificó el sistema operativo en el que se ejecutará el modelo, este fue diseñado para ejecutarse en Ubuntu 22.04.

## 4.2. Pruebas en Raspberry Pi

Desde la concepción inicial del trabajo, se estableció que se tendrían dos caminos para poder desarrollarlo: **por** un lado, se planteó que el módulo debía ser capaz de reconocer intrusos en varios *streamings* de vídeo simultáneos (camino que finalmente se vio favorecido), o bien, hacer que el módulo fuese capaz de correr en equipos a bordo de los drones. Para esto, se llevaron a cabo una serie de pruebas y ensayos en equipos Raspberry Pi. Más concretamente, las especificaciones de los equipos sobre los que se hicieron las pruebas son:

- **Modelo**: Raspberry Pi 2 modelo B
- **Sistema operativo**: Raspberry Pi OS (Debian 11 – Bullseye)
- CPU quad-core ARM Cortex-A7 900MHz
- **Memoria** ram: 1 Gb.
- **Overclocking**: Desactivado

Específicamente, el modelo con el que se tuvo los problemas más **importantes** a la hora de la instalación fue la versión completa de Tensorflow, requerida para la ejecución del módulo. Cabe mencionar que las placas Raspberry Pi son **compatibles** con la versión Lite de Tensorflow. Dicho esto, se intentaron cinco métodos para la instalación de esta biblioteca. Ninguno de ellos fue exitoso. El proceso llevado a cabo en cada una de las cinco instalaciones fue el siguiente:

- **Instalación 1** [14]:
  - instalación de Tensorflow: utilizando PIP.
  - se clona el repositorio de GIT de Tensorflow.
- **Instalación 2** [15]:
  - instalación de Tensorflow: utilizando PIP y el comando `--no-cache-dir`.
- **Instalación 3** [16]:
  - instalación de Tensorflow Lite: utilizando PIP.
- **Instalación 4** [17]:
  - instalación de Libatlas: utilizando PIP.
  - instalación de Tensorflow: utilizando PIP.
- **Instalación 5** [18]:
  - **Descarga de los paquetes y llaves disponibles en:**



- descarga de los paquetes y llaves disponibles en <https://packages.cloud.google.com/apt> y <https://packages.cloud.google.com/apt/doc/apt-key.gpg>
- se agregaron estos paquetes y llaves a Debian.
- instalación de Libatlas: usando PIP.
- instalación de Tensorflow: usando PIP.

Al tratar de importar esta librería en el código de Python, se obtuvo un fallo en **todas** las instancias, por lo que se decidió no continuar con esta aproximación para dar solución a la problemática. Es importante destacar que, dado que el **módulo** se desarrolló tomando como base el modelo YOLOv3 original (no el modelo Lite), no se cumplía con las especificaciones requeridas por este tipo de equipos, y una segunda implementación del modelo utilizando la versión YOLOv3 Lite hubiese implicado en sí, el trabajo equivalente a un módulo completo adicional.

De igual manera atrae particular atención mencionar que la placa con la que se contaba era un modelo antiguo de Raspberry Pi (Raspberry Pi 2 Modelo B de febrero de 2015), que no cuenta con una compatibilidad tan completa como la que se da con una Raspberry Pi 4. Es, entonces, de vital importancia que, para iteraciones posteriores del desarrollo del trabajo, y en caso de que se decida continuar con el desarrollo de módulos a bordo de los drones, considerar placas más avanzadas, como Raspberry Pi 4.

### 4.3. Caso de Uso

Una vez establecido el funcionamiento interno del módulo, se hace importante también tener en cuenta el flujo de trabajo para iniciarlo y ponerlo en **funcionamiento**. Se **deben tener en cuenta** las siguientes consideraciones para que se pueda iniciar el módulo de la manera correcta:

- se debe contar con el **link de conexión al servidor de transmisión**.
- **contar con el link de conexión al servidor receptor**.
- el servidor de conexión debe estar transmitiendo.
- llave de transmisión proporcionada por el cliente.

En total, se debe seguir *n* pasos (contando el paso 0 de inicio de sesión en el sistema operativo y 1 de instalación) para lograr el funcionamiento esperado del módulo:

1. el usuario deberá iniciar sesión en Ubuntu 22.04 LTS. Deberá cerciorarse que lo haga utilizando xorg. A pesar de que esta versión Ubuntu es compatible con el gestor de ventanas Wayland, su uso podrá causar una ejecución inestable del módulo.
2. **instalación** del módulo: **Este** paso contempla la instalación del módulo en una instalación nueva de Ubuntu 22.04 LTS. Para esto, el usuario se **deberá** remitir al manual de instalación que se entregó al cliente. **Dado que esta** versión no cuenta con una versión empaquetada en formato **.deb** (**compatible** con los sistemas basados en Debian), este paso incluirá la descarga de un IDE y la correspondiente apertura del código fuente.

- <https://packages.cloud.google.com/apt>
- <https://packages.cloud.google.com/apt/doc/apt-key.gpg>
- Se agregaron estos paquetes y llaves a Debian.
- **Instalación** de Libatlas: usando PIP.
- **Instalación** de Tensorflow: usando PIP.

Al tratar de importar esta **biblioteca** en el código de Python, se obtuvo un fallo en **todas** las instancias, por lo que se decidió no continuar con esta aproximación para dar solución a la problemática. Es importante destacar que, dado que el **módulo** se desarrolló tomando como base el modelo YOLOv3 original (no el modelo Lite), no se cumplía con las especificaciones requeridas por este tipo de equipos, y una segunda implementación del modelo utilizando la versión YOLOv3 Lite hubiese implicado en sí, el trabajo equivalente a un módulo completo adicional.

De igual manera atrae particular atención mencionar que la placa con la que se contaba era un modelo antiguo de Raspberry Pi (Raspberry Pi 2 Modelo B de febrero de 2015), que no cuenta con una compatibilidad tan completa como la que se da con una Raspberry Pi 4. Es, entonces, **muy importante** considerar placas más avanzadas, como la Raspberry 4, en caso de que se decida continuar con el desarrollo de módulos a bordo de los drones.

### 4.3. Caso de Uso

Una vez establecido el funcionamiento interno del módulo, se hace importante también tener en cuenta el flujo de trabajo para iniciarlo y ponerlo en **funcionamiento**. Se **contemplar** las siguientes consideraciones para que se pueda iniciar el módulo de la manera correcta:

- Se debe contar con los **links a los servidores de transmisión y recepción**.
- El servidor de conexión debe estar transmitiendo.
- Se debe contar con la llave de transmisión proporcionada por el cliente.

En total, se debe seguir *n* pasos (contando el paso 0 de inicio de sesión en el sistema operativo y 1 de instalación) para lograr el funcionamiento esperado del módulo:

1. El usuario deberá iniciar sesión en Ubuntu 22.04 LTS. Deberá cerciorarse que lo haga utilizando xorg. A pesar de que esta versión Ubuntu es compatible con el gestor de ventanas Wayland, su uso podrá causar una ejecución inestable del módulo.
2. **Instalación** del módulo: **este** paso contempla la instalación del módulo en una instalación nueva de Ubuntu 22.04 LTS. Para esto, el usuario se **deberá** remitir al manual de instalación que se entregó al cliente. **Como esta** versión no cuenta con una versión empaquetada en formato **.deb** (**compatible** con los sistemas basados en Debian), este paso incluirá la descarga de un IDE y la correspondiente apertura del código fuente.
3. Ejecutar el código fuente en el archivo Main. Esto permitirá la apertura de la interfaz gráfica (visible en la figura 3.2). Aquí el usuario podrá introducir el link proporcionado por el cliente.

3. ejecutar el código fuente en el archivo Main. Esto permitirá la apertura de la interfaz gráfica (visible en la imagen n). Aquí el usuario podrá introducir el link proporcionado por el cliente.
4. en caso de una conexión exitosa al servidor de transmisión, el usuario verá que aparecerá una ventana en su pantalla mostrando los *frames* procesados por el módulo. Es por esto que dentro de los requisitos del sistema para esta versión del módulo.
5. el usuario encontrará en su carpeta de documentos el archivo CSV con todas las detecciones de la fecha.
6. a fin de retransmitir los *frames* procesados de regreso a los servidores del cliente, el usuario deberá abrir OBS Studio de manera independiente. Dentro de este programa, el usuario deberá seguir los siguientes pasos:
  - 6.1 crear un nuevo origen de datos, que corresponderá a la ventana generada por el módulo (mencionada el paso 3).
  - 6.2 dirigirse a las configuraciones de OBS Studio, particularmente en la pestaña *Stream*.
  - 6.3 proporcionar el link de *streaming* y su respectiva llave de transmisión.
7. observar el *streaming* en el visor que el cliente disponga para este fin.

De igual manera, una vez logrado esto, es importante observar los resultados obtenidos durante la ejecución del módulo:

- el módulo se ejecutó con un promedio de 0,54 fps. Este valor es mayor al requisito del cliente de procesar un número mayor a 0,25 fps. Estos valores se lograron con CPU, ejecutados en una máquina virtual.
- e promedio se pierden en la transmisión, un 15 % de los *frames*. Si bien, el módulo los reporta (según la imagen n), es capaz de recuperarse satisfactoriamente de esta situación.
- el modelo requiere un breve período de calentamiento para lograr las métricas mencionadas arriba. En este momento los fps son menores a los que logrará el modelo en su ejecución normal.

4. En el caso de una conexión exitosa al servidor de transmisión, el usuario verá que aparecerá una ventana en su pantalla mostrando los *frames* procesados por el módulo. Este no fue uno de los requisitos expuestos en la etapa de planificación del proyecto: fue agregado posteriormente durante el desarrollo del trabajo.
5. El usuario encontrará en su carpeta de documentos el archivo CSV con todas las detecciones de la fecha.
6. A fin de retransmitir los *frames* procesados de regreso a los servidores del cliente, el usuario deberá abrir OBS Studio de manera independiente. Dentro de este programa, el usuario deberá seguir los siguientes pasos:
  - 6.1 Crear un nuevo origen de datos, que corresponderá a la ventana generada por el módulo (mencionada el paso 3).
  - 6.2 Dirigirse a las configuraciones de OBS Studio, particularmente en la pestaña *Stream*.
  - 6.3 Proporcionar el link de *streaming* y su respectiva llave de transmisión.
7. Observar el *streaming* en el visor que el cliente disponga para este fin.

De igual manera, una vez logrado esto, es importante observar los resultados obtenidos durante la ejecución del módulo:

- El módulo se ejecutó con un promedio de 0,54 fps. Este valor es mayor al requisito del cliente de procesar un número mayor a 0,25 fps. Estos valores se lograron con CPU, ejecutados en una máquina virtual.
- En promedio se pierden en la transmisión, un 15 % de los *frames*. Si bien, el módulo los reporta (según la imagen 3.4), es capaz de recuperarse satisfactoriamente de esta situación.
- El modelo requiere un breve período de calentamiento para lograr las métricas mencionadas arriba. En este momento los fps son menores a los que logrará el modelo en su ejecución normal.

## Capítulo 5

### Conclusiones

En este capítulo se detallan los resultados obtenidos del proceso del desarrollo del módulo. Es decir, se hace un recuento de las características finales del mínimo producto viable que resultó de este proceso sin detallar ejecuciones específicas.

#### 5.1. Resultados Obtenidos

Del desarrollo del modelo **surgió** una serie de conclusiones que representan, o bien, trabajos futuros (detallados en secciones posteriores), o recomendaciones para que se pueda sacar el provecho adecuado al módulo.

Por un lado, sale a relucir la importancia del uso de las versiones adecuadas de software. El no hacerlo puede implicar que el usuario vea inestabilidades **fuertes** en el funcionamiento del módulo. Por ejemplo, utilizar versiones no LTS (*Long Term Support*) de Ubuntu, implicará que, en un tiempo corto, el sistema **pueda** acceder a los paquetes requeridos para la correcta ejecución.

Igualmente, es muy importante tener en cuenta que a pesar de que es posible tomar algunos modelos generales de visión por computadora, estos son de fácil **modificación, de forma que** se hace muy evidente a través del desarrollo de este trabajo, **que** crear módulos personalizados de visión por **computadora** es muy sencillo. Esto puede ser de gran utilidad para diferentes industrias que pueden aprovechar el poder de este tipo de herramientas, manteniendo a su **personal** ocupado con tareas que generen un mayor valor.

Ahora bien, dados algunos cambios que se presentaron según avanzó el trabajo, no fue posible cumplir estrictamente con lo planeado: **dados** cambios en las **prioridades** en el proyecto, el proceso de pruebas no pudo ser llevado a cabo, **dado que** se le dio prioridad al sistema de reporte visual. Esto implica que el usuario tiene más maneras de monitorear los resultados del módulo y tomar decisiones **informadas**. De igual manera, se hace más sencillo identificar falsos positivos y falsos negativos que puedan aparecer.

#### 5.2. Tiempos de ejecución

A pesar de que los tiempos de ejecución medidos a través del uso de procesamiento con CPU y máquinas virtuales cumplen con lo estipulado en la fase de definición de los requisitos del módulo con el cliente (según se detallan en el capítulo 4), dadas las restricciones de los *frameworks* utilizados comúnmente en la implementación de sistemas de inteligencia artificial, no fue posible probar con

## Capítulo 5

### Conclusiones

En este capítulo se detallan los resultados obtenidos del proceso del desarrollo del módulo. Es decir, se hace un recuento de las características finales del mínimo producto viable que resultó de este proceso sin detallar ejecuciones específicas.

#### 5.1. Resultados Obtenidos

Del desarrollo del modelo **surgieron** una serie de conclusiones que representan, o bien, trabajos futuros (detallados en secciones posteriores), o recomendaciones para que se pueda sacar el provecho adecuado al módulo.

Por un lado, sale a relucir la importancia del uso de las versiones adecuadas de software. El no hacerlo puede implicar que el usuario vea **fuertes** inestabilidades en el funcionamiento del módulo. Por ejemplo, utilizar versiones no LTS (*Long Term Support*) de Ubuntu, implicará que, en un tiempo corto, el sistema **no podrá** acceder a los paquetes requeridos para la correcta ejecución.

Igualmente, es muy importante tener en cuenta que a pesar de que es posible tomar algunos modelos generales de visión por computadora, estos son de fácil **modificación. Lo anterior expuesto** se hace muy evidente a través del desarrollo **de este trabajo, es decir, crear** módulos personalizados de visión por **computadora** es muy sencillo. Esto puede ser de gran utilidad para diferentes industrias que pueden aprovechar el poder de este tipo de herramientas, manteniendo a su **personal** ocupado con tareas que generen un mayor valor.

Ahora bien, dados algunos cambios que se presentaron según avanzó el trabajo, no fue posible cumplir estrictamente con lo planeado: **por** cambios en las **prioridades** en el proyecto, el proceso de pruebas no pudo ser llevado a cabo, **porque** se le dio prioridad al sistema de reporte visual. Esto implica que el usuario tiene más maneras de monitorear los resultados del módulo y tomar decisiones **informadas**. De igual manera, se hace más sencillo identificar falsos positivos y falsos negativos que puedan aparecer.

#### 5.2. Tiempos de ejecución

A pesar de que los tiempos de ejecución medidos a través del uso de procesamiento con CPU y máquinas virtuales cumplen con lo estipulado en la fase de definición de los requisitos del módulo con el cliente (según se detallan en el capítulo 4), dadas las restricciones de los *frameworks* utilizados comúnmente en la implementación de sistemas de inteligencia artificial, no fue posible probar con



las tarjetas gráficas apropiadas, dado que no se contó con el equipo. Sin embargo, se espera que este rendimiento mejore sustancialmente.

A fin de poder realizar estas pruebas, sin embargo, se requerirá contar con una de las siguientes opciones:

1. Computadora que cuente, idealmente, con una tarjeta gráfica NVidia Tesla T4 o NVidia Titan X (según referenciado en el capítulo 2).
2. Código que no requiera de la generación de una ventana para la **retransmisión** de los *frames*. Esto permitirá montar el módulo en un servicio de *Cloud Computing* (como Google Cloud), en donde es posible alquilar **tarjetas gráficas** con este tipo de especificaciones, o bien, ejecutar pruebas sobre el código en Google Colab, en donde se **podrá** medir más fielmente los **tiempos** de ejecución del módulo.

### 5.3. Trabajos futuros

Teniendo en cuenta que se trata de un mínimo producto viable, cabe aclarar que los siguientes trabajos son aún necesarios para que el cliente pueda contar con un módulo de inteligencia artificial que se ajuste de manera adecuada a sus necesidades. Dentro de estos trabajos futuros están:

- **añadir** al módulo la capacidad de retransmitir los *frames* procesados. Esto eliminará la necesidad de utilizar software externo como OBS Studio.
- **el** módulo deberá ser optimizado muy fuertemente. Esto implica que se **sigan** los siguientes pasos:
  - **actualmente** el módulo detecta la totalidad de las clases del *dataset COCO* y descarta las clases que no se requieren durante el paso de reporte. Esto implica que el sistema hace una gran cantidad de **cálculos innecesarios**, correspondientes a clases que no se requieren por el cliente.
  - **se** deberá reentrenar los pesos a fin de evitar la ocurrencia de falsos positivos, así como reducir la ocurrencia de falsos negativos.
  - **para** versiones más avanzadas del código, se hará necesaria la generación, en conjunto con el cliente, de definiciones más precisas de qué se considera aceptable en una matriz de confusión.
- **algunos** de los requisitos del cliente (particularmente la detección en vuelos nocturnos) no pudieron ser cubiertos. Es imperativo entonces hacer las pruebas y ajustes correspondiente una vez exista el material de vuelos en horas de la noche.
- **empaquetar** el módulo, idealmente en formato .deb, de forma que **se pueda** hacer una fácil distribución del módulo.

las tarjetas gráficas apropiadas, dado que no se contó con el equipo. Sin embargo, se espera que este rendimiento mejore sustancialmente.

A fin de poder realizar estas pruebas, sin embargo, se requerirá contar con una de las siguientes opciones:

1. Computadora que cuente, idealmente, con una tarjeta gráfica NVidia Tesla T4 o NVidia Titan X (según referenciado en el capítulo 2).
2. Código que no requiera de la generación de una ventana para la **retransmisión** de los *frames*. Esto permitirá montar el módulo en un servicio de *Cloud Computing* (como Google Cloud), en donde es posible alquilar **tarjetas gráficas** con este tipo de especificaciones, o bien, ejecutar pruebas sobre el código en Google Colab, en donde se **podrán** medir más fielmente los **tiempos** de ejecución del módulo.

### 5.3. Trabajos futuros

Teniendo en cuenta que se trata de un mínimo producto viable, cabe aclarar que los siguientes trabajos son aún necesarios para que el cliente pueda contar con un módulo de inteligencia artificial que se ajuste de manera adecuada a sus necesidades. Dentro de estos trabajos futuros están:

- **Añadir** al módulo la capacidad de retransmitir los *frames* procesados. Esto eliminará la necesidad de utilizar software externo como OBS Studio.
- **El** módulo deberá ser optimizado muy fuertemente. Esto implica que se **sigan** los siguientes pasos:
  - **Actualmente** el módulo detecta la totalidad de las clases del *dataset COCO* y descarta las clases que no se requieren durante el paso de reporte. Esto implica que el sistema hace una gran cantidad de **cálculos innecesarios**, correspondientes a clases que no se requieren por el cliente.
  - **Se** deberá reentrenar los pesos a fin de evitar la ocurrencia de falsos positivos, así como reducir la ocurrencia de falsos negativos.
  - **Para** versiones más avanzadas del código, se hará necesaria la generación, en conjunto con el cliente, de definiciones más precisas de qué se considera aceptable en una matriz de confusión.
- **Algunos** de los requisitos del cliente (particularmente la detección en vuelos nocturnos) no pudieron ser cubiertos. Es imperativo entonces hacer las pruebas y ajustes correspondiente una vez exista el material de vuelos en horas de la noche.
- **Empaquetar** el módulo, idealmente en formato .deb, de forma que **distribuir** con facilidad.
- Durante el desarrollo de este trabajo se descartó el uso de Raspberry Pi para el desarrollo de módulos a bordo del dron dadas las limitaciones del modelo utilizado (Raspberry Pi 2 Modelo B). Se deberá utilizar placas Raspberry Pi más avanzadas, de preferencia Raspberry Pi 4.

# Apéndice A

## Tablas extendidas

TABLA A.1. Software requerido para el desarrollo y la ejecución del **módulo**

| Paquete    | Tipo                     | Licencia                                     | Versión                    |
|------------|--------------------------|--|----------------------------|
| PIP        | Gestor de bibliotecas    | MIT  | 22.0.2                     |
| Numpy      | Biblioteca de Python     | BSD  | 1.21.5                     |
| OpenCV     | Biblioteca de Python     | Apache 2                                     | 4.5.4                      |
| Matplotlib | Biblioteca de Python     | BSD  | 3.6.2                      |
| Tensorflow | Biblioteca de Python     | Apache 2                                     | 2.10.1                     |
| Pycharm    | Software completo        | Apache 2                                     | 2022.3.3 Community edition |
| Obs Studio | Software completo        | GPLv2  | 28.1.2 (64 Bit)            |
| Python     | Lenguaje de programación | Python Software Foundation License Version 2 | 3.10.6                     |
| Ubuntu     | Sistema operativo        | Creative Commons CC-BY-SA version 3.0 UK     | 22.04.1 LTS (64 Bit)       |

# Apéndice A

## Tablas extendidas

TABLA A.1. Software requerido para el desarrollo y la ejecución del **módulo**.

| Paquete    | Tipo                     | Licencia                                     | Versión                    |
|------------|--------------------------|--|----------------------------|
| PIP        | Gestor de bibliotecas    | MIT  | 22.0.2                     |
| Numpy      | Biblioteca de Python     | BSD  | 1.21.5                     |
| OpenCV     | Biblioteca de Python     | Apache 2                                     | 4.5.4                      |
| Matplotlib | Biblioteca de Python     | BSD  | 3.6.2                      |
| Tensorflow | Biblioteca de Python     | Apache 2                                     | 2.10.1                     |
| Pycharm    | Software completo        | Apache 2                                     | 2022.3.3 Community edition |
| Obs Studio | Software completo        | GPLv2  | 28.1.2 (64 Bit)            |
| Python     | Lenguaje de programación | Python Software Foundation License Version 2 | 3.10.6                     |
| Ubuntu     | Sistema operativo        | Creative Commons CC-BY-SA version 3.0 UK     | 22.04.1 LTS (64 Bit)       |